

胱氨酸改性 TiO_2 可见光下催化活性及催化机理

于秀娟^{*.1,2} 程修文¹

(¹ 黑龙江大学环境科学与工程系, 哈尔滨 150080)

(² 黑龙江省普通高等学校高效转化的化工过程与技术重点实验室, 哈尔滨 150080)

摘要: 以胱氨酸为掺杂剂, 采用溶胶-凝胶法制备了胱氨酸改性的 TiO_2 可见光催化剂, 并对其进行了 TG-DTA、XRD、表面光电压光谱(SPS)及 XPS 表征。XRD 结果表明, 胱氨酸有效抑制了 TiO_2 晶粒的生长, 提高了锐钛矿向金红石相的转变温度。SPS 分析结果显示, 改性 TiO_2 光催化剂可见光吸收增强, 吸收带边明显红移, 且胱氨酸用量为 4.2% 的样品光伏响应强度最大。XPS 分析结果表明, 胱氨酸改性 TiO_2 样品表面的羟基含量明显增加, 且 $\text{O}2p$ 价带的 VBM(价带最大值)值为 2.3 eV, 小于非改性 TiO_2 。以罗丹明 B 为模型污染物, 考察了胱氨酸掺杂量与焙烧温度对改性 TiO_2 在可见光下催化性能。结果表明, 胱氨酸掺杂量(相对 TiO_2)为 4.2%、350 °C焙烧的催化剂催化活性最好。波长为 380~630 nm、470~800 nm 的光辐射 120 min 后, 罗丹明 B 的降解率分别达到 91.02%、78.44%。

关键词: 光催化; TiO_2 ; 胱氨酸; 罗丹明 B

中图分类号: O614.41; O613.51; O643.36

文献标识码: A

文章编号: 1001-4861(2010)12-2150-05

Mechanism and Photocatalytic Activity of Cystine-Modified TiO_2 with Visible-Light Response

YU Xiu-Juan^{*.1,2} CHENG Xiu-Wen¹

(Department of Environmental Science and Engineering, Heilongjiang University, Harbin 150080)

(²Key Laboratory of Chemical Engineering Process & Technology for High-efficiency Conversion, College of Heilongjiang Province, Harbin 150080)

Abstract: TiO_2 nano-particles modified by cystine were prepared through a sol-gel procedure using cystine as the doping species and characterized by TG-DTA, XRD, Surface Photo-voltage Spectroscopy (SPS) and XPS. The XRD results show that cystine added in TiO_2 preparation could effectively restrain the growth of crystallite and enhance the temperature of phase transformation. SPS results indicate that the light absorbance edge of cystine modified TiO_2 nano-particles is obviously red-shifted to visible-light and the strongest signal intensity of photovoltaic response is given by modified TiO_2 nano-particle with 4.2% cystine. XPS analysis implies that the content of surface hydroxyl increases significantly and VBM (Valence Bond Maximum) of $\text{O}2p$ is 2.3 eV. The effects of calcination temperature and cystine content on the visible-light photocatalytic performance of modified TiO_2 for degrading RhB were investigated. The modified TiO_2 calcined at 350°C with 4.2% cystine content exhibits the best photocatalytic performance. When the irradiation wavelengths are 380~630 nm and 470~800 nm, the removal rate for RhB could achieve 91.02% and 78.44%, respectively.

Key words: photocatalytic; TiO_2 ; cystine; rhodamine B

随着社会经济的飞速发展, 环境污染控制与治理成为人类亟待解决的重大课题。 TiO_2 因其高效、廉

价、耐光和化学腐蚀而成为研究的热点, 但其也存在着一些缺陷: TiO_2 属宽隙半导体, 带隙能为 3.2 eV,

收稿日期: 2010-04-12。收修改稿日期: 2010-08-26。

黑龙江省高校青年学术骨干支持计划资助项目。

*通讯联系人。E-mail: hljyuxiujuan@126.com

第一作者: 于秀娟, 女, 45 岁, 教授; 研究方向: 环境催化及清洁生产。

只能响应 $\lambda \leq 387.5$ nm 的紫外光等缺点。而紫外光仅占太阳光谱的 4~6% 左右^[1], 通过改性提高 TiO₂ 对太阳光的利用率成为了当今研究的热点。传统的 TiO₂ 光催化剂改性方法主要有: 金属离子掺杂、染料光敏化和半导体复合等。虽然它们在一定程度上能提高对可见光的利用率, 但也存在着光催化剂稳定性的降低、敏化剂稳定性的下降以及载流子复合中心的增多等缺陷, 而非金属离子掺杂在提高 TiO₂ 光催化活性上表现出优越的条件。Asahi 等^[2] 在 n_{N_2}/n_{Ar} 比为 2:3 气氛中溅射 TiO₂ 靶, 在 N₂ 气氛下在 500 ℃ 煅烧 4 h 制备 TiO_{2-x}N_x 光催化剂薄膜。在可见光(波长低于 500 nm) 照射下, TiO_{2-x}N_x 对亚甲基蓝的光催化活性显著提高。密度函数理论(DFT)计算表明, N 掺杂纳米 TiO₂ 对可见光响应系 Ti-N 晶格间的半导体带隙降低所致。刘守新等^[3] 以 TiCl₄ 和 (NH₄)₂SO₄ 为原料, 采用酸催化水解法合成 TiO₂ 前驱体, 并在 NH₃/N₂ 气氛下制得不同煅烧温度的 N 掺杂 TiO₂ (TON) 光催化剂。在紫外光区、可见光区以及太阳光下降解苯酚表现出较高的光催化活性。唐玉朝^[4]、任凌^[5] 等报道了 N 掺杂 TiO₂ 光催化剂具有很好的可见光催化活性。王永强等^[6] 采用钛酸丁酯(TNB)和硫脲为原料, 利用加热法制备了具有可见光催化活性的光催化剂 S/TiO₂。XPS 结果表明: S/TiO₂ 中 S 通过置换晶格中金属离子 Ti⁴⁺ 以形成 S⁶⁺ 阳离子。表面光电压光谱(SPS)结果表明: S/TiO₂ 仍为 n 型半导体, 其吸收带边红移至 550 nm。模拟太阳光下降解苯甲酸的试验结果表明: S/TiO₂ 在可见光下的催化活性是未改性 TiO₂ 的 2.7 倍。王玉萍等^[7] 采用改进的 sol-gel 制备 S-TiO₂ 光催化剂, 对 L-酸的降解表明了改性光催化剂具有良好的紫外和可见光催化活性。由于单元素掺杂容易引起电荷的不平衡, 由此产生的缺陷成为电子-空穴对的湮灭中心, 降低其光催化性能^[8]。因此国内外很多研究者采用非金属元素共掺改性来提高 TiO₂ 光催化剂的催化活性, 并取得了一定得效果。Yu 等^[9] 以 Ti(SO₄)₂ 和 NH₃·H₂O 为原料, 采用水热法合成 N、S 共掺杂改性纳米 TiO₂ 光催化剂。光催化降解丙酮和甲醛的实验证明, 该催化剂在保持了紫外光催化活性的同时, 太阳光照射下的去除率是 Degussa P25 TiO₂ 的 10 倍。Xie 等^[10] 采用硫脲为掺杂剂, 利用化学法制备了具有可见光催化活性的 N、S 共掺杂改性的 TiO₂ 光催化剂。在可见光($\lambda \geq 420$ nm) 下降解亚甲基蓝的光催化效率是 Degussa P25 TiO₂ 的 3 倍。Wei^[11]、Rengifo-Herrera^[12] 等也报道

了以硫脲为掺杂剂制备的 N、S 共掺杂 TiO₂ 光催化剂具有良好的可见光催化效果。但其也存在诸多缺点, 例如制备过程中释放出有毒有害气体、需要较高的焙烧温度等等。

本工作利用钛酸四丁酯为钛源, 以相对环境友好的胱氨酸(C₆H₁₂N₂O₄S₂)为掺杂剂, 采用溶胶-凝胶法制备了胱氨酸改性的 TiO₂ 可见光催化剂, 并对其进行了 TG-DTA、XRD、XPS 及 SPS 表征。以罗丹明 B 为模型污染物, 分别考察了可见光下胱氨酸用量与焙烧温度对罗丹明 B 的降解效果。

1 实验部分

1.1 光催化剂的制备

将 10 mL 无水乙醇滴加到溶解有一定量胱氨酸的 10 mL 去离子水溶液和 2 mL 浓硝酸的混合液中, 待搅拌均匀后迅速将其转移至 60 mL 分液漏斗中备用, 记为 A 液。将 10 mL 钛酸四丁酯滴加至 40 mL 无水乙醇和 1.0 mL 冰醋酸的混合液中开展水解, 待滴加完毕后再继续搅拌 30 min, 制得 B 液。强力搅拌下, 将 A 液以 1 mL·min⁻¹ 的速度控速滴加至 B 液, 滴加完毕后继续搅拌 60 min。室温静置陈化 6 h, 再于 80 ℃ 烘箱下干燥 36 h 后研磨, 装入水平石英管式反应器中, 接着以 3 °C·min⁻¹ 升温至 350 ℃ 焙烧 4 h 制得了胱氨酸改性的 TiO₂ 纳米粒子。重复以上过程, 只是在 10 mL 去离子水中不添加胱氨酸, 其余步骤相同, 同样制得未掺杂改性的 TiO₂ 纳米粒子。

1.2 光催化剂表征

采用美国 Perkin Elmer 的 TGA-7 和 DTA-1700 型热分析仪对所制样品进行 TG-DTA 分析。载气(N₂)流速为 100 mL·min⁻¹, 以 Al₂O₃ 作参比。采用 D/max III B 型 X-射线衍射仪(Rigaku, Japan)对样品进行物相分析, 测试条件为: Cu K α 射线($\lambda=0.154\text{ }18\text{ nm}$), 石墨单色器, 管电压 40 kV, 电流 30 mA, 取样点/步长为 0.02°, 扫描速度 12°·min⁻¹。XPS 测试在 PHI-5700 型上进行, X 射线源采用 Al K α ($h\nu=1486.6\text{ eV}$) 射线, 以仪器污染碳 C1s(Binding Energy=284.62 eV) 作能量校正。SPS 测试在自组装的表面光电压光谱仪上进行^[13-16]。

1.3 催化剂活性测试

以罗丹明 B(RhB)溶液的光催化降解来评估样品的光催化活性, 降解的中间产物没有被检测。采用 350W 氙灯作光源, 光源距反应器 15 cm, 用截止波

长为 470~800 nm 的滤光片滤去紫外光和红外光部分,以获得可见光。将 20 mL 浓度 $10 \text{ mg} \cdot \text{L}^{-1}$ 的罗丹明 B 模型污染物与 20 mg 催化剂样品混合后避光振荡 30 min, 待吸附-脱附平衡后, 开启氘灯光源, 待 5 min 后光源稳定开始计时, 每隔 20 min 取样, 迅速离心后以 0.22 μm 微孔滤膜过滤, 取上清液用北京谱析通用仪器有限公司的 T6 紫外-可见分光光度计通过在 553 nm 处的特征吸收值来检测罗丹明 B 的浓度, 降解率可通过 $(C_0 - C_t)/C_0$ 来计算, 其中 C_0 和 C_t 分别为原始的和 t 时间的罗丹明 B 水溶液浓度。

2 结果与讨论

2.1 胱氨酸用量的影响

图 1 为不同胱氨酸改性 TiO_2 光催化剂对罗丹明 B 的降解效果。由图 1 可知, 胱氨酸比例存在一个最佳量, 当胱氨酸与钛酸四丁酯的物质的量比为 4.2% 时, 350 °C 焙烧的改性 TiO_2 光催化活性最佳。在波长为 470~800 nm 光作用下, 经过 120 min 光作用后, 其对罗丹明 B 的降解率高达 78.44%; 辐照波长为 380~630 nm, 对罗丹明 B 的降解率高达 91.02%; 采用 350 W 氘灯作为光源时, 对罗丹明 B 的降解率高达 100%。

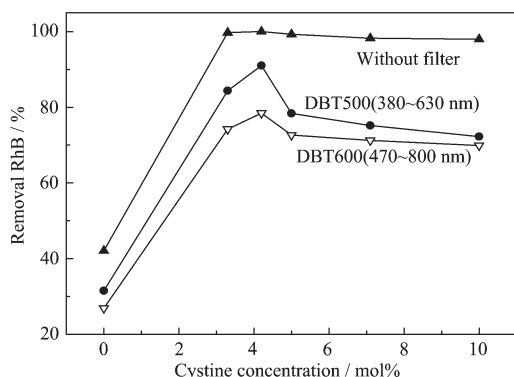


图 1 胱氨酸用量对 TiO_2 光催化性能的影响

Fig.1 Effect of cystine doping content on the photocatalytic properties of TiO_2

2.2 焙烧温度的影响

图 2 为胱氨酸比例为 4.2% 时, 不同焙烧温度下改性 TiO_2 对罗丹明 B 的降解效果。结果表明, 350 °C 焙烧样品降解效果最佳。在波长为 380~630 nm 和 470~800 nm 光作用下, 经过 120 min 光照后对罗丹明 B 的降解效果分别达 91.02% 和 78.44%。

图 3 为原料中胱氨酸物质的量的比是 4.2% 时

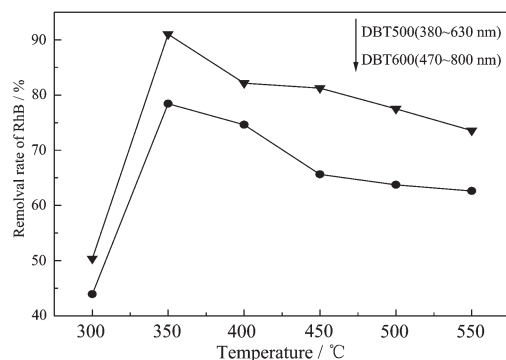


图 2 焙烧温度对 4.2% 胱氨酸改性 TiO_2 光催化性能的影响

Fig.2 Effect of calcination temperature on the photocatalytic properties of 4.2% cystine doped TiO_2

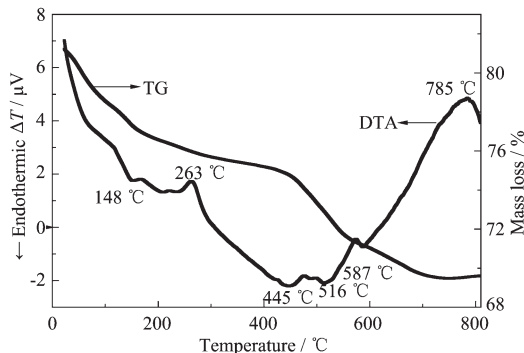
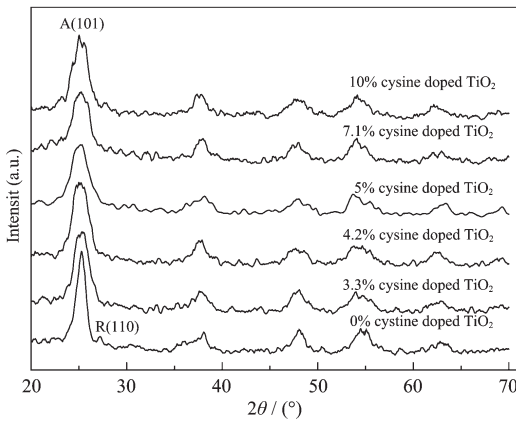


图 3 4.2% 胱氨酸改性 TiO_2 的 TG-DTA 曲线

Fig.3 TG-DTA curves of 4.2% cystine doped TiO_2

改性 TiO_2 光催化剂的 TG-DTA 曲线。DTA 图中, 在 0~200 °C 范围内的热效应源于凝胶粉中吸附的水分和有机溶剂(乙醇、乙酸等)的挥发以及掺杂剂胱氨酸的分解脱附引起的, 同时 TG 上有明显的失重现象。随着温度的升高, DTA 图中 300 °C 左右有一小的放热峰, 对应于乙醇、乙酸等有机物的受热分解、 TiO_2 由无定形向锐钛矿的相变^[17]以及胱氨酸掺杂反应的进行。400~600 °C 范围内, TG 上有明显失重现象, 并且 DTA 上伴随着出现了轻微的放热峰和吸热峰, 对应着残留有机官能团的氧化和少量羟基的解析。750 °C 左右的放热峰代表 TiO_2 由锐钛矿型向金红石型的转变。因此, 该催化剂焙烧温度应该大于 300 °C, 但又不能过高, 否则会导致粒子的团聚乃至羟基的解析以及晶型的转变。

图 4 为 350 °C 焙烧条件下不同胱氨酸掺杂量的改性 TiO_2 光催化剂 XRD 图。从图 4 中可以看出, 胱氨酸掺杂改性 TiO_2 的 XRD 图与非改性 TiO_2 相比有明显的变化。在 TiO_2 的 XRD 图中, $2\theta=25.28^\circ$ (101

图 4 不同 TiO_2 光催化剂 XRD 图Fig.4 XRD patterns of different TiO_2 photocatalysts

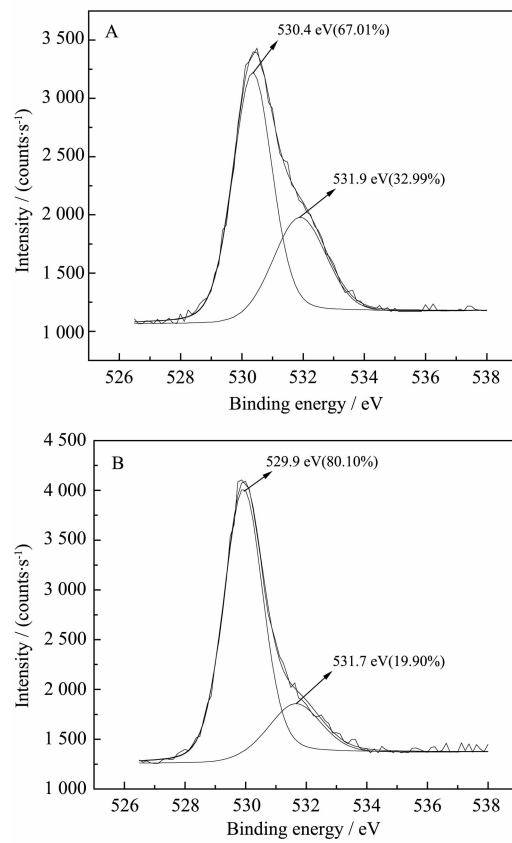
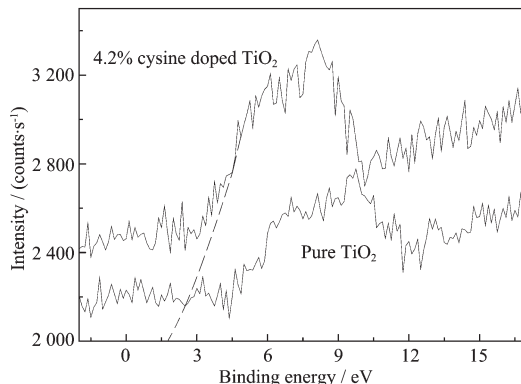
面) 处的衍射峰是锐钛矿的特征衍射峰,而在 $2\theta=27.4^\circ$ (110 面) 处的衍射峰是金红石相的特征峰^[18-19]。图 4 中非改性 TiO_2 为锐钛矿(A)和金红石(R)两种晶型的混晶结构,且衍射峰比较尖锐,而改性 TiO_2 光催化剂的晶型为单一的锐钛矿型(A),且衍射峰的强度有所降低,峰形宽化。说明掺杂的胱氨酸有效的抑制了 TiO_2 锐钛矿相向金红石相的转变,同时阻碍了晶粒的团聚。

同时胱氨酸改性 TiO_2 的 XRD 图中未出现因胱氨酸掺杂引起的新衍射峰,也未出现 TiO_2 衍射峰的移动现象,说明胱氨酸未改变 TiO_2 的晶相结构。利用 XRD 特征衍射峰峰强,利用 Scherrer 公式可以求得晶粒尺寸 D 。经计算,纯 TiO_2 纳米粒子的微晶尺寸为 5.2 nm。而胱氨酸改性后的 TiO_2 纳米粒子微晶尺寸按胱氨酸掺杂量的增加依次分别为 3.4、3.3、3.1、3.1 和 3.1 nm。说明改性后的 TiO_2 纳米粒子具有更小的粒径,更大的比表面积,应该具有更好的光催化活性。

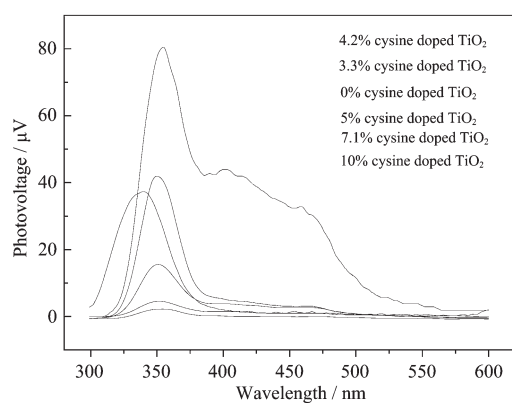
2.3 胱氨酸改性 TiO_2 催化机理分析

2.3.1 XPS 分析

图 5 为 4.2% 胱氨酸改性 TiO_2 (A) 和纯 TiO_2 (B) 光催化剂的 O1s 精细扫描图。从图 5 可知,该光催化剂中至少存在两种氧,即晶格氧 ($\text{Ti}-\text{O}$) 和晶格氧($-\text{OH}$)。胱氨酸改性 TiO_2 光催化的羟基氧含量为 32.99%,明显高于纯 TiO_2 光催化剂中的 19.90%,羟基氧的存在对光催化活性是有益的^[20],这也是胱氨酸改性后提高 TiO_2 光催化活性的主要原因之一。为进一步研究胱氨酸改性 TiO_2 光催化剂的电子结构,分别对 4.2% 胱氨酸改性 TiO_2 和非改性 TiO_2 光催化剂进行了 VBXPS (Valence Bond X-ray Photoelectron

图 5 胱氨酸掺杂 TiO_2 (A) 和 TiO_2 (B) 的 O1s XPS 图Fig.5 High-resolution XPS spectra for O1s of the cystine doped TiO_2 and pure TiO_2 图 6 TiO_2 和 cystine doped TiO_2 的 VBXPS 谱图Fig.6 VBXPS spectra of TiO_2 and cystine doped TiO_2

Spectroscopy) 测试,结果如图 6 所示。与 TiO_2 相比,胱氨酸改性 TiO_2 能量响应区域更低,表面更加丰富。采用线性外推法可得,胱氨酸改性 TiO_2 光催化剂的 O2p 价带的 VBM(Valence Bond Maximum)值为 2.3 eV,比 TiO_2 (3.2 eV)更小。这也说明改性 TiO_2 光催化剂的价带更窄,光生电子-空穴对的分离效率更高,光催化活性更高。

图 7 不同 TiO_2 光催化剂 SPS 图Fig.7 SPS spectra of different TiO_2 photocatalysts

2.3.2 SPS 分析

图 7 为不同 TiO_2 光催化剂的 SPS 曲线。由图 7 可见, 相对于非改性 TiO_2 的最大响应波长为 339 nm($\text{O}2p \rightarrow \text{Ti}3d$), 经过胱氨酸改性的 TiO_2 , 其吸收峰表现出明显的红移现象。并且由图可知, 随着胱氨酸添加量的增加, 相应改性 TiO_2 光催化剂的 SPS 响应信号逐渐增强。当胱氨酸用量为 4.2% 时, 其光伏响应信号达到最大值。此时, 纳米 TiO_2 颗粒间电荷输运势更小, 光生电子-空穴对的分离效率更高^[21], 光催化能力更强, 而且其可见光响应范围一直延长至 570 nm。相对于非改性 TiO_2 的 300~400 nm 而言, 可见光响应信号的增强也进一步说明经过胱氨酸改性后的 TiO_2 在可见光下具有良好的光催化活性。当增加原料中胱氨酸含量时, SPS 信号强度依次减小, 光生-电子空穴对的分离效率降低, 光催化活性降低。

3 结 论

以钛酸四丁酯为前躯体, 胱氨酸为改性材料, 采用溶胶-凝胶法制备了胱氨酸改性的 TiO_2 光催化剂。胱氨酸的添加, 提高了催化剂表面羟基的含量, 得到的改性 TiO_2 晶粒尺寸小, 控制一定焙烧温度, 可以制备出全部由锐钛矿相构成的催化剂。该催化剂价带窄, $\text{O}2p$ 价带的 VMB 值为 2.3 eV, 小于非改性 TiO_2 ; 可见光吸收增强, 吸收带边明显红移, 原料中胱氨酸物质的量比为 4.2% 的样品对可见光的响应强度最大, 光生电子-空穴对的分离效率最高。在可见光下, 胱氨酸改性 TiO_2 对罗丹明 B 的光催化氧化效率高, 胱氨酸含量为 4.2% 的改性 TiO_2 催化活性最好, 反应 120 min, 波长为 380~630 nm、470~800 nm 的光辐射 120 min 后, 罗丹明 B 的降解率分

别达到 91.02%、78.44%。

参 考 文 献 :

- [1] JIAN Pan-Ming(蒋盘铭), XIA Ya-Mu(夏亚穆), LI De-Hong(李德宏), et al. *Chin. J. Catal.(Cuihua Xuebao)*, **2001**, *22*(2): 161-164
- [2] Asahi R, Morikawa T, Ohwaki T, et al. *Science*, **2001**, *293*(13): 269-271
- [3] LIU Shou-Xin(刘守新), CHEN Xiao-Yun(陈孝云), LI Xiao-Hui(李晓辉). *Chinese J. Inorg. Chem. (Wuji Huaxue Xuebao)*, **2008**, *24*(2): 253-259
- [4] TANG Yu-Chao(唐玉朝), HUANG Xian -Huai(黄显怀), YU Han-Qing(俞汉青), et al. *Chinese J. Inorg. Chem. (Wuji Huaxue Xuebao)*, **2005**, *21*(11): 1747-1751
- [5] REN Ling(任凌), YANG Fa-Da(杨发达), ZHANG Yuan-Ming(张渊明), et al. *Chinese J. Inorg. Chem. (Wuji Huaxue Xuebao)*, **2008**, *24*(4): 541-546
- [6] WANG Yong-Qiang(王永强), YU Xiu-Juan(于秀娟), YANG Hong-Fen(杨红芬), et al. *Chinese J. Inorg. Chem. (Wuji Huaxue Xuebao)*, **2006**, *22*(4): 771-774
- [7] WANG Yu-Ping(王玉萍), CAO Jin-Li(曹金丽), PENG Pan-Ying(彭盘英). *Chinese J. Inorg. Chem. (Wuji Huaxue Xuebao)*, **2009**, *25*(11): 2010-2015
- [8] XING Peng-Fei(邢朋飞), WANG Jin-Shu(王金淑), JIN Jian-Xin(金建新), et al. *Nanoscience & Nanotechnology*, **2007**, *4*: 29-33
- [9] Yu J G, Zhou M H, Cheng B, et al. *J. Mol. Catal. A: Chem.*, **2006**, *246*: 176-184
- [10] Xie Y, Zhao X J. *J. Mol. Catal. A: Chem.*, **2008**, *285*: 142-149
- [11] Wei Y F, Ni L S, Cui P J. *Hazard. Mater.*, **2008**, *156*: 135-140
- [12] Rengifo-Herrera J A, Pierzchaa K, Sienkiewicz A, et al. *Appl. Catal. B*, **2009**, *88*: 398-406
- [13] Jing L Q, Xu Z L, Shang J, et al. *Sol. Energy Mater. Sol. Cells*, **2003**, *79*: 133-151
- [14] Lin Y H, Wang D J, Zhao Q D, et al. *J. Phys. Chem. B*, **2004**, *108*: 3202-3207
- [15] Xin B F, Jing L Q, Ren Z Y, et al. *J. Phys. Chem. B*, **2005**, *109*: 2805-2809
- [16] QIN Xu(秦旭), JING Li-Qiang(井立强), XUE Lian-Peng(薛连鹏), et al. *Chinese J. Inorg. Chem. (Wuji Huaxue Xuebao)*, **2008**, *24*(7): 1108-1112
- [17] Amoresj M G, Escrivano V S, Busca G. *J. Mater. Chem.*, **1995**, *5*(8): 1245-1249
- [18] Jing L Q, Xin B F, Yuan F L, et al. *J. Phys. Chem. B*, **2006**, *110*: 17860-17865
- [19] Zhang Q H, Gao L, Guo J K. *Appl. Catal. B*, **2000**, *26*: 207-215
- [20] Maldotti A, Molinari A, Amadelli R. *Chem. Rev.*, **2002**, *102*(10): 3811-3836
- [21] ZHANG Xin-Tong(张昕彤), ZHUANG Jia-Qi(庄家骐), XU Jin-Jie(徐金杰), et al. *Chem. J. Chinese Universities (Gaodeng Xuexiao Huaxue Xuebao)*, **1999**, *20*: 1945-1947